

УДК 537.226; 537.311.32; 538.956

© 1991

## ЭНЕРГЕТИЧЕСКАЯ И ПРОСТРАНСТВЕННАЯ СТРУКТУРА (F<sub>2</sub><sup>+</sup>)<sub>H</sub>-ЦЕНТРОВ В NaCl, KCl И KBr

B. H. Саломатов, T. Г. Юрьева

Рассчитаны энергетические параметры F<sub>2</sub><sup>+</sup>(O<sup>-</sup>)-центров для четырех возможных конфигураций в NaCl, KCl и KBr. Результаты расчета неплохо согласуются с экспериментальными данными, что позволяет предложить новые модели лазерно-активных центров в кислородсодержащихЩГК.

Использование щелочно-галоидных кристаллов (ЩГК) с F<sub>2</sub><sup>+</sup>-подобными центрами в качестве активных элементов лазеров, перестраиваемых в ИК-области спектра, стимулирует интерес к изучению природы активных центров в этих кристаллах. В настоящее время общепринятой моделью (F<sub>2</sub><sup>+</sup>)<sub>H</sub>-центров в ЩГК с кислородными примесями является F<sub>2</sub><sup>+</sup>(O<sup>2-</sup>)-модель [1-14]. Привлекательность ее обусловлена прежде всего возможностью объяснения большей термической стабильности (F<sub>2</sub><sup>+</sup>)<sub>H</sub>-центров по сравнению с F<sub>2</sub><sup>+</sup>-центрами за счет электростатического взаимодействия F<sub>2</sub><sup>+</sup>-центров с кислородными ионами, обладающими избыточным отрицательным зарядом (прямой механизм стабилизации). Обсуждался также механизм стабилизации, обусловленный разрушающим F<sub>2</sub><sup>+</sup>-центры электронов примесными ловушками [15] (косвенный механизм стабилизации).

При интерпретации результатов работ [1-14] не принимается во внимание следующее обстоятельство. Смещения максимумов оптических спектров (F<sub>2</sub><sup>+</sup>)<sub>H</sub>-центров относительно максимумов спектров F<sub>2</sub><sup>+</sup>-центров невелики (сотые доли эВ) для большого набора ЩГК. Более того, если справедливы предположения, сделанные в работах [6, 12], то среди взаимных конфигураций близкорасположенных примесного кислородного иона и F<sub>2</sub><sup>+</sup>-центра должна существовать такая конфигурация, в которой влияние примесного иона на спектры F<sub>2</sub><sup>+</sup>-центра вообще отсутствует. В случае возмущающего воздействия на F<sub>2</sub><sup>+</sup>-центр близкорасположенного примесного иона O<sup>2-</sup>, обладающего избыточным отрицательным зарядом, изменения оптических спектров должны быть более существенными.

В работах [16, 17] отмечено, что небольшие изменения оптических спектров (F<sub>2</sub><sup>+</sup>)<sub>H</sub>-центров по сравнению со спектрами F<sub>2</sub><sup>+</sup>-центров в LiF неплохо соответствуют F<sub>2</sub><sup>+</sup>(O<sup>-</sup>)-модели (F<sub>2</sub><sup>+</sup>)<sub>H</sub>-центра (возмущающим дефектом является примесный ион O<sup>-</sup>). В связи с этим представляет интерес оценка энергетических параметров (F<sub>2</sub><sup>+</sup>)<sub>H</sub>-центров в такой модели для кристаллов NaCl, KCl и KBr, подробно исследованных в настоящее время экспериментально.

Расчет изменения энергетических параметров F<sub>2</sub><sup>+</sup>-центров под влиянием близкорасположенных примесных ионов O<sup>-</sup> проведен в рамках метода Бартрама—Стонхэма—Гэша [18] в модификации Алига [19]. Изменение энергии i-го состояния F<sub>2</sub><sup>+</sup>-центра под влиянием воздействия примесного иона записывалось в виде

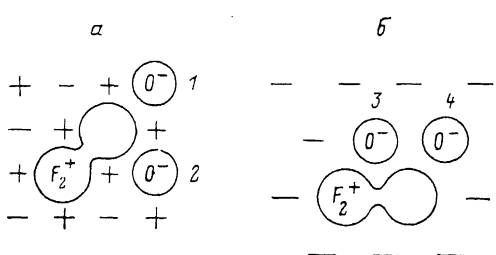
$$\Delta E_i = [(A_1 - A_-) + (B_1 - B_-)(E_i - U_1)] |\Phi_i(\bar{R}_1)|^2 \left(1 - \sum_{\gamma=1}^M B_\gamma |\Phi_\gamma(\bar{R}_\gamma)|^2\right)^{-1}. \quad (1)$$

Псевдопотенциальные коэффициенты  $A_\gamma$ ,  $B_\gamma$  для регулярных ионов могут быть взяты из работы [18], а для примесного иона  $O^-$  — из работы [20]. Индексы «1», «—» относятся к примесному иону и замещаемому регулярному аниону соответственно;  $U_\gamma$  — потенциальная энергия электрона в узле  $\gamma$ ; вектор  $\vec{R}_\gamma$  определяет положение  $\gamma$ -го узла;  $(\Phi_i(\vec{R}_\gamma))^2$  — значение квадрата псевдоволновой функции в  $\gamma$ -м узле решетки. Волновые функции  $F_2^+$ -центров могут быть взяты из работы [21].

Таблица 1  
Результаты расчета энергетических параметров  
 $F_2^+(O^-)$ -центров (эВ)

	NaCl	KCl	KBr
$\Delta E_g^1$	0.01	0.01	0.01
$\Delta E_g^2$	0.01	0.01	0.01
$\Delta E_g^3$	0.03	0.02	0.03
$\Delta E_g^4$	0.01	0.01	0.01
$\Delta E_u^1$	0.02	0.02	0.02
$\Delta E_u^2$	0.01	0.01	0.01
$\Delta E_u^3$	0.00	0.00	0.00
$\Delta E_u^4$	0.02	0.01	0.02

В табл. 1, 2 приведены результаты расчета для  $F_2^+(O^-)$ -центров в NaCl, KCl и KBr. Здесь  $\Delta E_g$ ,  $\Delta E_u$  — изменение энергии основного и первого возбужденного состояний  $F_2^+$ -центра под влиянием воздействия примесного иона  $O^-$ .  $\Delta E = \Delta E_u - \Delta E_g$  — сдвиг бесфононной линии под влиянием возмущающего воздействия примесного иона. В случае близости формы спектров невозмущенного и возмущенного центров эта величина может сопоставляться со сдвигом максимума спектра поглощения ( $F_2^+$ )<sub>u</sub>-центра относительно  $F_2^+$ -центра. Рисунок иллюстрирует рассмотренные взаимные конфигурации дефектов. Верхний индекс у величин  $\Delta E_g$ ,  $\Delta E_u$ ,  $\Delta E$  соответствует нумерации этих конфигураций на рисунке.



Модели исследуемых ( $F_2^+$ )<sub>u</sub>-центров окраски в плоскости (100) (a) и (111) (b).

$O^-$  — примесный анион. Цифрами пронумерованы рассмотренные взаимные конфигурации  $F_2^+$ - и  $O^-$ -центров.

Экспериментальные значения величины  $\Delta E$  получены из данных работы [5]. При этом для кристалла NaCl предполагалось, как это делается в более поздних работах [6-8], что максимум полосы поглощения  $F_2^+$ -центров расположен при 1.05 мкм, а для кристалла KBr — при 1.53 мкм.

Как видно из приведенных результатов расчета, для всех исследованных кристаллов в случае конфигурации 2 сдвиг спектра ( $F_2^+$ )<sub>u</sub>-центров отсутствует, в случае конфигураций 1 и 4 имеет место небольшой сдвиг в коротковолновую сторону, а для конфигурации 3 — в длинноволновую сторону относительно максимума спектра  $F_2^+$ -центров. Т. е. при различном пространственном расположении  $F_2^+$ -центра и примесного иона  $O^-$  в эксперименте могут в принципе проявляться три различные полосы поглощения

Таблица 2

Теоретические и экспериментальные [5] значения величины  $\Delta E$  (эВ)

	NaCl		KCl		KBr	
	теор.	экспер.	теор.	экспер.	теор.	экспер.
$\Delta E^1$	0.01	0.03	0.01	—	0.01	0.03
$\Delta E^2$	0.00	—	0.00	—	0.00	—
$\Delta E^3$	-0.03	-0.04	-0.02	-0.04	-0.03	-0.03
$\Delta E^4$	0.01	—	0.00	—	0.01	—

(излучения). Одна из них практически совпадает с полосой  $F_2^+$ -центра, вторая смещена в коротковолновую сторону и, возможно, слабо расщеплена (конфигурации 1 и 4), третья смещена в длинноволновую сторону относительно  $F_2^+$ -полосы.

Сравнение с экспериментом показывает, что именно такая ситуация имеет место для исследованных кристаллов. Т. е. рассчитанные и экспериментальные значения величины  $\Delta E$  совпадают по знаку и порядку величины. Следует отметить, что проблема детального соотнесения спектральных полос  $F_2^+$ -центрам в ЩГК осложняется присутствием неконтролируемых кислородных примесей в этих кристаллах. Наилучшее согласие с экспериментом результатов расчета имеет место, если полагать, что  $F_2^+$ -центрам соответствуют полосы с максимумами при 1.05 мкм в NaCl и при 1.53 мкм в KBr (при 77 К). В KCl, где  $(F_2^+)_H$ -центры наименее изучены экспериментально, возможно обнаружение слабо смещенной коротковолновой полосы.

Представляет интерес более детальное экспериментальное изучение  $F_2^+$ -подобных центров и возможностей осуществления альтернативных существующим механизмов их стабилизации. При этом, в частности, может оказаться эффективной поляризационная методика. Проведенные в работах [5, 6] поляризационные измерения, по нашему мнению, в большей степени свидетельствуют в пользу  $F_2^+(O^-)$ -модели, чем в пользу  $F_2^+(O^{2-})$ -модели, поскольку в последнем случае наличие примесного иона с избыточным зарядом должно существенно изменять поляризационные свойства  $F_2^+$ -центров. В эксперименте же [5, 6] ось симметрии  $(F_2^+)_H$ -центров определяется как  $\langle 110 \rangle$ . Отмеченная в работе [6] малая эффективность создания  $(F_2^+)_H$ -центров в кристаллах, содержащих  $O^-$ , по мнению авторов является непрямым доказательством  $F_2^+(O^{2-})$ -модели  $(F_2^+)_H$ -центров. Нам представляется возможным объяснить этот экспериментальный факт тем, что на конечной стадии  $F_2^+(O^-)$ -центры образуются главным образом не в результате агрегации  $F_2^+ + O^- \rightarrow F_2^+(O^-)$ , а в результате реакции  $O^{2-}V_a^+ + V_a^+ \rightarrow F_2^+(O^-)$ .

Таким образом,  $F_2^+(O^-)$ -модель неплохо объясняет основные наблюдаемые свойства лазерно-активных  $(F_2^+)_H$ -центров в LiF [16, 17], NaCl и KBr и позволяет предсказать возможность обнаружения новых «коротковолновых» центров в KCl.

Работа выполнена при финансово-организационной поддержке программы «Лазерные системы» Гособразования СССР.

#### Список литературы

- [1] Лобанов Б. Д., Хулугуров В. М., Парфианович И. А. // Изв. вузов, физика. 1978. № 4. С. 81–84.
- [2] Парфианович И. А., Хулугуров В. М., Лобанов Б. Д., Максимова Н. Т. // Изв. АН СССР, сер. физич. 1979. Т. 43. № 6. С. 1125–1132.
- [3] Pollock C. R. // J. Luminesc. 1986. N 2. P. 65–78.
- [4] Pinto J. F., Georgiou E., Pollock C. R. // Opt. Lett. 1986. V. 11, N 8. P. 519–521.
- [5] Wandt D., Gellerman W., Lüty F. // J. Appl. Phys. 1987. V. 61. N 3. P. 864–869.
- [6] Georgiou E., Pinto J. F., Pollock C. R. // Phys. Rev. B. 1987. V. 35. N 14. P. 7636–7645.

- [7] German K. R., Pollock C. R. // Opt. Lett. 1987. V. 12, N 7. P. 474—476.
- [8] Culpepper C. F., Carrig T. J., Pinto J. F., Georgiou E., Pollock C. R. // Opt. Lett. 1987. V. 12, N 11. P. 882—884.
- [9] Beigang R., Klameth K., Becker B., Voon Z., Welling H. // Opt. Communs. 1988. V. 65. N 5. P. 383—386.
- [10] Phillips G., Hinske P., Demtröder W., Mölmann K., Beigang R. // Appl. Phys. B. 1988. V. 47. P. 127—133.
- [11] Kurobori T., Nebel A., Beigang R., Welling H. // Opt. Communs. 1989. V. 73. N 5. P. 365—369.
- [12] Williamson B., Gilmartin M., Lifante G., Jaque F., Henderson B. // Sol. St. Communs. 1989. V. 69. N 7. P. 717—720.
- [13] Попова М. Г., Пензина Э. Э., Попов Л. Г., Соболев Л. М., Брюкин В. В. // Журн. приклад. спектроск. 1989. Т. 50. № 5. С. 804—808.
- [14] Матц Р. Э., Пестряков Е. В., Коляго С. С., Трунов В. И. // Квантовая электроника. 1990. Т. 17. № 2. С. 134—136.
- [15] Gellerman W., Lüty F., Koch K. P., Litfin G. // Phys. Stat. Sol. 1980. V. A57. N 1. P. 411—418.
- [16] Chepurnoi V. A., Mysovskii S. N., Parfianovich I. A., Salomatov V. N., Shkadarovich A. P. // Phys. Stat. Sol. 1984. V. B125. N 1. P. K41—K44.
- [17] Саломатов В. Н. // Автореф. докт. дис. Свердловск, 1989.
- [18] Bartram R., Stoneham A., Gash P. // Phys. Rev. 1968. V. 176. N 3. P. 1014—1024.
- [19] Alig R. C. // Phys. Rev. 1981. V. B2. N 6. P. 2108—2114.
- [20] Дмитриева Е. И. // Автореф. канд. дис. Саратов, 1988.
- [21] Березин А. А. // Вестник ЛГУ. 1968. № 4. С. 47—51.

Научно-исследовательский институт  
прикладной физики  
Иркутск

Поступило в Редакцию  
22 октября 1990 г.  
В окончательной редакции  
26 декабря 1990 г.